

1. まえがき

最近浅海における非線形分散波の変形の性質が注目されており、ことに Segur (1973), Hammack and Segur (1974) によって  $K-dV$  方程式の漸近解によって長い走行距離における変形が、理論的にもめられている。しかし従来の実験水路はおおむね長さが短かくて、理論の妥当性を検証することはできなかった。

本論文は長さ100mの一次元水路を用いて段波を造波し、これが伝播しながら定常状態になるまでの波の挙動を明らかにし、独立性散波の分散についての検討と行ない、たのむのである。

2. 実験装置及び実験方法

実験は図-1に示すように、長さ100m、幅1.0m水路の0.5m、1.0mの二種類の異なる鉄筋コンクリート製水路を用いた。流に固定した滑車にロープを通し錘りを結んで、その錘りの自由落下を利用して台車を動かし造波する。波高の測定は抵抗線式波高計を18m間隔に4個設置し造波地点から順にNo.1, 2, 3, 4とする。水路は高水路の一段部分を使用して10.5cm, 14.5cm, 15.5cm, 18.5cmの4種類、錘りの重量30kg, 25kg, 20kg, 15kg, 10kg、造波板のストローク0.5m, 1.0m, 1.5m, 2.0mである。

また造波板の車輪に取り付けた突起によりマイクロスイッチのon-offを利用しパルスを出し、造波板の移動距離と時間との関係を知ることが出来る。造波板の平均速度と発生段波波高との関係を図-2に示す。ほぼ比例関係にあることがわかる。△は碎波したものと、○は碎波しなものである。碎波したものとしないものとの境界は本実験では  $x/h = 0.45$  となる。また碎波は造波地点から4~5mの所で生ずることが多く、その型は *spilling breaker* であった。

3. 実験結果及び考察

観測された段波はほとんど2~8個のソリトンに分散している。その観測例を図-3に示す。最上欄は造波板の動く関係である。造波地点では、段波とそれに続く振動性のさざ波が生じている。造波地点と18m離れた

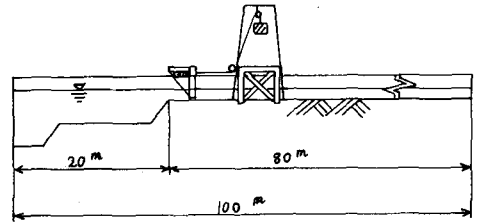


図-1

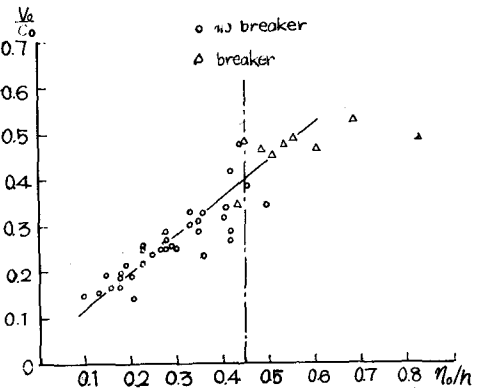


図-2

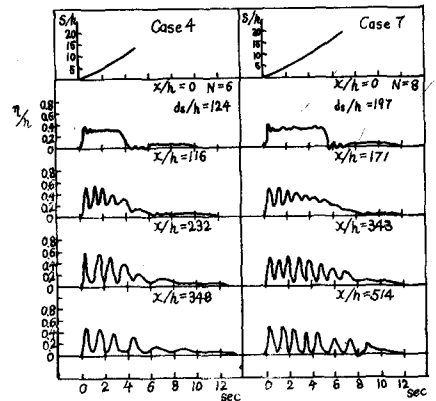


図-3

プローブ (No.2) では、既に分裂現象も起こしている縦波状ではなくなっている。さらにソリトン群が進行するにつれて、大きいソリトンと小さいソリトンとの間隔が大きくなり、振幅の大きな順に整列し安定性をもったソリトン群となっている。またこれらのソリトン群に流く振動性のさざ波は、その進行する距離につれて図-3には現われていないが、その波数が多くなっている。

実験ケースの一部を表-1に示す。Vは造波板平均速度、 $\eta_{max}$ はNo.4のプローブにおける最も大きいソリトンの波高である。これはHammackとSagurの提唱したえり分け距離 (sorting distance) であり、最も大きいソリトンと最も小さいソリトンがある代表的長さだけ離れるまでの最も大きいソリトンの進行する距離として定義されている。ここではほしとして発生波波長を既用する。このことからNo.4のプローブまでに進行する間に、えり分けは完全に行なわれていて、安定したソリトン群となっているということができ、Nはソリトン数であり、観測によるものとSagur等による計算からのものがある。観測値は、幅があるけれど計算値の範囲に入っている。計算値の範囲に幅があるのは造波板停止位置と造波地点のプローブ (No.4) との距離が、本実験の場合、約30cmあるために既に分裂がいくらか始まっている波形がとらわれているためと思われる。

次にアセル数とソリトン数との関係が図-4である。アセル数が大きくなればソリトン数が大きくなるのは明らかである。アセル数が小さければNを決定するのは容易であるが、しかしアセル数が大きくなるとNを決定することが困難である。ソリトン数はアセル数だけでは一義的に決めることができない。

図-5は $\eta/L$ ,  $\eta/\lambda$ とソリトン数の関係を示したものであり、ソリトン数が1から順に7まで、 $\Delta$ ,  $\square$ ,  $\circ$ ,  $\times$ ,  $\bullet$ ,  $\blacktriangle$ ,  $\blacksquare$ をもちいづプロットしている。また(-)のついたものは併添したものである。これからおおよその Breaking line を実験でひいてみた。またソリトン数の個数に応じて、ソリトン数の領域を分けた。-----は Galvin による Breaking line であり、-----で Galvin によるソリトン数の領域を示した。これを見るとソリトン数の分布帯は、ほぼあっているが、Breaking lineは、少しずれている。ソリトン数に大きく影響するのは、 $\eta/L$ であり、 $\eta/L$ が小さければソリトン数は大きくなっている。また $\eta/\lambda$ が大きければソリトン数も大きくなっている。

おわりに、本実験を共にやってくれた東北大学学生大森悠慈君、山田正雄君、また助言下さった、大学院学生英野明氏、技官佐藤栄司氏に深く感謝いたします。

参考文献

1. Sagur, H., : The Korteweg-de Vries equation and water waves. Solution of the equation Part 1, Jour. Fluid Mech., vol. 59, part 4, 1973, pp 721~736
2. Hammack, J.L. and H. Sagur, : The Korteweg-de Vries and water waves Part 2, Comparison with experiments, Jour. Fluid Mech. vol. 65, part 2, 1974, pp 289~314

Case	$V/\sqrt{gH}$	S(m)	$\eta_{max}/\lambda$	$\eta/\lambda$	$d_s/\lambda$	N (observed)	N (computed)
1	0.328	0.5	0.381	514	55	2	1~3
2	0.492	1.5	0.521	370	29	3	1~5
3	0.349	1.5	0.596	370	64	4	3~6
4	0.333	2.0	0.471	348	125	5	4~7
5	0.532	2.0	0.616	370	45	6	2~6
6	0.262	2.0	0.361	348	251	7	5~8
7	0.301	2.0	0.448	514	197	8	6~10

表 - 1

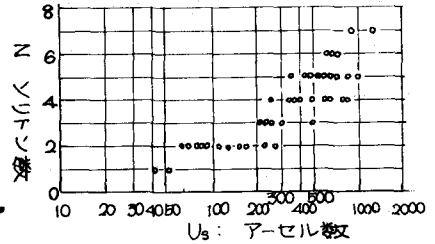


図 - 4

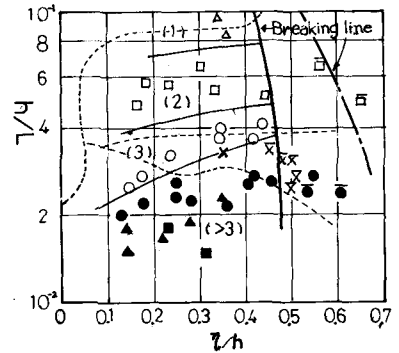


図 - 5